合金化による格子定数とXRDの変化について

Cu-2at.%Ti 及び Cu-4at.%Ti の X 線回折の結果について、つっこみが不十分と思われるので若干の解説を試みる。実験というものは思う通りにならないもので、均質化熱処理を施したからと言って試料に不均一が完全になくなるとは限らないし、1.5 時間の時効熱処理で試料が平衡状態図の通りの組成と相比に成っているわけでもない(ことも多い)。しかしながら、ここではそうした現世の憂き事どもはひとまず忘れ、理想的な状態を考えよう。

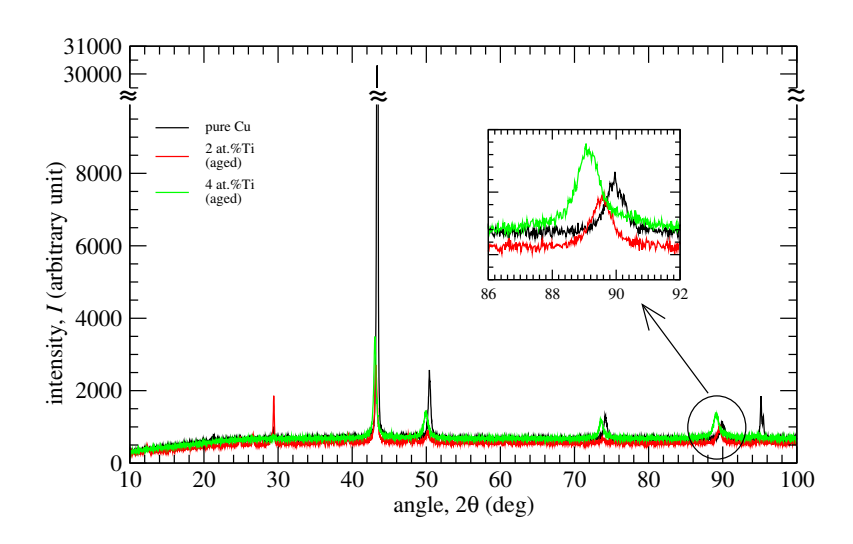


図 1: 時効熱処理を施した各試料の回折図形の比較。黒線が純銅、赤線が Cu-2at.%Ti、緑線が Cu-4at.%Tiの XRD 測定結果である。インセットは $2\theta = 90^\circ$ 付近に現れる (311) 面からの反射の拡大図である。全体図では試料による差は余り目立たないが、拡大図ではピーク位置の系統的なシフトが見られる。

X 線の回折ピークはローレンツ関数 $(f(x) = \frac{1}{x^2+\epsilon^2})$ でフィッティングすることが多いようである。 ピークの現われる角度は0°ではないし、ピークのない位置でもバックグラウンドの反射のために回折 強度は0にならないので、今の場合は関数

$$I(2\theta) = I_0 + \frac{\Delta I}{(2\theta - 2\theta_0)^2 + \epsilon^2}$$

へのフィッティングを考えることになる。ここでパラメータは I_0 がバックグラウンドの強度、 ΔI はピー クの高さ、 $2 heta_0$ はピークの現われる角度、 ϵ^2 はピークの幅を表わしている。例として純銅の回折図形で $2\theta = 90^\circ$ 付近に現われる (311) 反射のピークに対してフィッティングをした結果を図 2 に示す。X 線の 計数は、放射性物質の単位時間当りの崩壊数の分布を記述するポワソン分布と呼ばれる分布を持つと考 えられるので、その測定値の誤差(というか測定値の標準偏差)は計数の平方根で評価することができ る。

例えばバックグラウンドの X 線の強度が I=670 であった とすれば、X線の計数の誤差は $\sigma = \sqrt{670} \sim 26$ 位と見積も られるということである。実際図2の下段に示した実験値 と回帰曲線の差は、殆どのデータに対して50以内であり、 これは $2\sigma \sim 52$ のなかに大多数のデータが入るという統計 学の知識と矛盾しない。ローレンツ関数へのフィッティング はうまく行っているようである。

他の熱処理条件の試料の実験結果にも同様に最小二乗法で ローレンツ関数へのフィティングをすると、パラメータは表 1に示したようになる。今回の実験では、ピークの高さや幅 には興味はなく、ピークが現れる角度 2θ のみが重要であ る。面間隔を求める幾何学的な式とブラッグの条件を組み合数のフィッティング(上段)。下段に示し わせた式

$$\lambda = 2d_{hkl}\sin\theta = \frac{a\sin\theta}{\sqrt{h^2 + k^2 + l^2}}$$

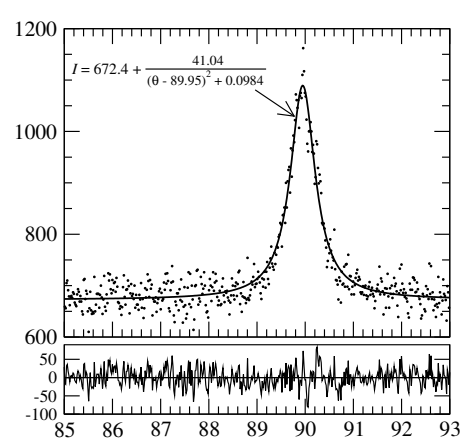


図 2: 純銅の回折図形へのローレンツ関 たのは近似曲線と実験データの差であ る。殆どのデータは近似曲線の上下 50 以内に入っている。

を用いて、それぞれの格子定数 a を求めることが出来る。波長としては Cu の K_{α_1} 線の $\lambda=1.540562 \text{\AA}$ を用いると、格子定数として表1の最後の行に示した値が得られる。

表 1: 熱処理条件と組成の異る試料の(311)反射のピークに対するフィッティングパラメータ。ピーク の角度から求めた格子定数も示す。参考までに、金属間化合物 Cu₄Ti の (立方晶に換算した) 文献値も 挙げた。

| | | 純銅 | Cu-2at.%Ti | | Cu-4at.%Ti | | $\mathrm{Cu_{4}Ti}$ |
|----------|--------------|--------|------------|---------|------------|--------|---------------------|
| | | | 時効前 | 時効後 | 時効前 | 時効後 | (文献值) |
| バックグラウンド | I_0 | 666 | 388 | 551 | 486 | 706 | |
| ピーク強度 | δI | 44.7 | 72.9 | 54.4 | 96.0 | 118.7 | |
| 散乱角 | 2θ | 89.949 | 89.638 | 89.554 | 89.168 | 89.136 | |
| 線幅 | ϵ^2 | 0.1063 | 0.07458 | 0.13334 | 0.0905 | 0.1854 | |
| 格子定数 | a(Å) | 3.6145 | 3.6244 | 3.6271 | 3.6395 | 3.6405 | 3.6689 |

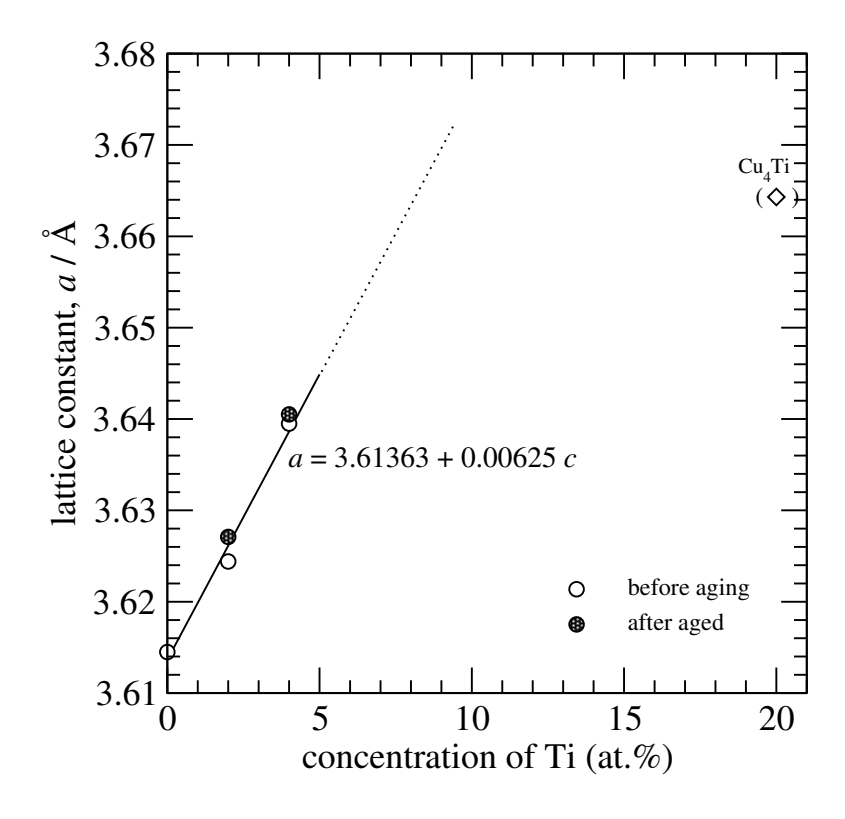


図 3: 格子定数の濃度依存。金属間化合物 Cu_4Ti は立方晶系ではないので、原子一個当りの体積から求めた対応する立方晶の格子定数を図に菱形で示した。

この結果をグラフにしたものを図3に示す。チタンを固溶することにより格子定数はほぼ直線的に増大するが、当初の予測とは異なり、金属間化合物相の Cu_4Ti はこの直線上にはのらない。「相が違うというのはそういうことです。」

以上